

# Об одном локальном методе трехмерного секционирования

Александр Разгулин<sup>1</sup>, Татьяна Романенко<sup>1</sup>, Андрей Ларичев<sup>2</sup>, Никита Ирошников<sup>2</sup>

<sup>1</sup>Факультет Вычислительной математики и кибернетики, <sup>2</sup>Физический факультет

Московский государственный университет имени М. В. Ломоносова  
razgulin@cs.msu.ru, romanenko@cs.msu.ru, larichev@optics.ru, nikita@optics.ru

## Аннотация

Для решения возникающей в офтальмологии задачи трехмерного секционирования разработан итерационный метод деконволюции в спектральной области, допускающий эффективное распараллеливание на многоядерных CPU.

**Ключевые слова:** свертка, деконволюция, секционирование, изображающая система, итерационный метод, регуляризация.

## 1. ВВЕДЕНИЕ

Один из перспективных подходов для восстановления трехмерной структуры глазного дна человека основан на быстрой перефокусировке изображающей системы методами адаптивной оптики [3] и получении стека изображений, находящихся на различной глубине. Однако наряду с истинным сечением трёхмерного объекта в каждой фокальной плоскости полученные изображения содержат размытые изображения соседних по глубине сечений, абберации оптической системы глаза, флуктуации фиксации, а также искажения светочувствительных сенсоров. Таким образом, возникает проблема устойчивого к помехам получения «очищенного» от указанных искажений стека изображений сечений глазного дна по глубине для его последующего использования в трёхмерной реконструкции. Известным аналогом данного подхода является метод цифрового секционирования в биомикроскопии ([1],[2],[4]), близкие постановки возникают также в задачах вычислительной диагностики полупрозрачных слоистых структур [7].

## 2. ПОСТАНОВКА ЗАДАЧИ И МЕТОД РЕШЕНИЯ

Задача восстановления трехмерного объекта в оптической микроскопии описывается операторным уравнением ([1], [2], [4])

$$i(x, y, z) = o(x, y, z) * h(x, y, z), \quad (1)$$

где  $i(x, y, z)$  – наблюдаемое изображение,  $o(x, y, z)$  – искомый объект,  $h(x, y, z)$  – трехмерная функция точечного источника (point spread function, PSF),  $*$  – знак операции трехмерной свертки. Уравнение (1) является трехмерным интегральным уравнением Фредгольма первого рода. Поскольку для анализа и обработки доступны сечения трехмерного изображения офтальмологического объекта лишь в конечном наборе плоскостей  $z \in \{z_1, z_2, \dots, z_N\}$ , где количество сечений  $N$  на порядок меньше количества точек в каждом горизонтальном сечении, для приближенного решения уравнения (1) осуществляется переход от симметричной по координатам  $(x, y, z)$  формы записи уравнения (1) к дискретному по  $z$  аналогу:

$$i_m \equiv i(x, y, z_m) = \sum_{n=1}^N o(x, y, z_n) * h_{m-n}(x, y). \quad (2)$$

Здесь  $\{i_m\}$  – наблюдаемые изображения,  $m = 1, 2, \dots, N$ ,  $\{o_m = o(x, y, z_m)\}$  – исходные данные, расположенные на  $m$ -ом слое объекта,  $h_{m-n}(x, y) = h(x, y, z_m - z_n) \Delta z_{nm}$ ,  $\Delta z_{nm}$  – расстояние между слоями с номерами  $n$  и  $m$ ,  $*$  – операция двумерной свертки. Характерная для живой трехмерной структуры глаза PSF функция полностью некогерентной изопланарной изображающей системы имеет вид [8]:

$$h(x, y, \Delta z_{nm}) = |F(M \cdot \exp\{i \cdot p_s + p\})|^2,$$

где  $F$  — оператор двумерного преобразования Фурье,  $i$  – мнимая единица,  $M(\xi, \eta) = \text{ind}(\xi^2 + \eta^2 < r^2)$  – функция зрачка,  $p_s = p_s(\xi, \eta, \Delta z_{nm})$  отвечает за степень размытия слоя исходных данных, учитываемого при формировании наблюдаемого изображения, в зависимости от его смещения  $\Delta z_{nm}$  от плоскости фокусировки и задается формулой

$$p_s(\xi, \eta, \Delta z_{nm}) = a(\xi^2 + \eta^2)|n - m|,$$

где постоянная  $a > 0$  определяется физическими параметрами изображающей системы [8]. Функция  $p(\xi, \eta) = b \xi^2 + \eta^2$ ,  $b > 0$  отвечает стационарному дефокусу, привносимому абберациями оптической системы глаза и не зависящему от расположения слоя при расчете его вклада в наблюдаемое изображение.

Прямое обращение свертки (1) является неустойчивой задачей, поскольку передаточная функция соответствующей изображающей системы в некоторых областях частотного пространства обращается в ноль или близка к нулю. Обзор преимуществ и недостатков имеющихся прямых и итерационных методов решения для близких задач трехмерной биомикроскопии, отличающихся от нашей задачи видом импульсной функции, приводится, например, в [2] п. 22.2 и [4], гл. 14. Анализ этих методов показывает, что по сравнению с прямыми итерационные методы являются более точными, но сопровождаются увеличением вычислительной трудоемкости. Однако при надлежащем выборе итерационного алгоритма, допускающего распараллеливание вычислений современными программно-аппаратными средствами, такое увеличение трудоемкости не является принципиальным моментом.

Следуя [8], приведем описание используемого итерационного алгоритма, допускающего эффективное распараллеливание. Сначала применяется переход от (2) к системе уравнений, связывающей двумерные Фурье-образы  $I_m, O_m, H_m$  рассматриваемых функций  $i_m, o_m, h_m$  в плоскости спектральных переменных  $(u, v)$ :

$$I_m(u, v) = \sum_{n=1}^N O_n(u, v) \cdot H_{m-n}(u, v), \quad m = 1, 2, \dots, N. \quad (3)$$

Система (3) в каждой точке  $(u, v)$  суть система линейных алгебраических уравнений относительно коэффициентов Фурье  $\vec{O}(u, v) = (O_1(u, v), O_2(u, v), \dots, O_N(u, v))$  исходных данных с матрицей  $S$  размера  $N \times N$ , составленной из коэффициентов  $\vec{H}(u, v) = (H_1(u, v), H_2(u, v), \dots, H_N(u, v))$ , и может быть записана в виде

$$S\vec{O} = \vec{I}. \tag{4}$$

При ее решении используется зависящий от параметра  $\mu > 0$  неявный итерационный метод [5], задающий регуляризирующий алгоритм для нахождения решений системы линейных алгебраических уравнений (4):

$$\vec{O}^{(k+1)} = (E + \mu S^*S)^{-1}\vec{O}^{(k)} + \mu(E + \mu S^*S)^{-1}S^*\vec{I}, \tag{5}$$

где  $k = 0, 1, \dots, K$ ,  $\vec{O}^{(0)} = (0, 0, \dots, 0)$ .

Ранее в работе [8] рассматривался случай секционирования с постоянным выбором параметра  $\mu$  для всех спектральных компонент. Было выяснено, что при разных значениях параметра  $\mu$  качество восстановления высокочастотных и низкочастотных гармоник отличается и не может быть одновременно хорошим. В этой ситуации эффективен локальный подход (см., например, [9],[10]), основанный на локализации выбора параметра метода регуляризации в зависимости от спектральных компонент при наличии соответствующей априорной информации о погрешностях. В следующем разделе приводятся сравнение результатов трехмерного секционирования для постоянного и локального методов выбора параметра.

### 3. РЕЗУЛЬТАТЫ ВОССТАНОВЛЕНИЯ

#### 3.1 Трехмерный объект

Рассматривался фантомный полупрозрачный трехмерный объект, состоящий из нескольких расположенных на разных слоях сосудов, и использовались следующие параметры системы, характерные для живой трехмерной структуры глаза: глубина объекта по координате  $z$ , по которой проводилось секционирование, составляла 800 микрон, число слоев  $N = 20$ ,  $a = 0.2105\pi$ ,  $b = 0.5\pi$ . Характерный вид исходных сечений и сам трехмерный объект представлены на рисунке 1.

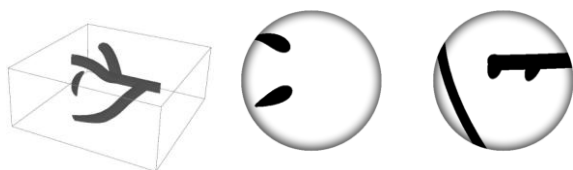


Рисунок 1: Изображение рассматриваемого трехмерного объекта и его исходных слоев с номерами 3, 10.

Поскольку одним из характерных видов шума для подобных оптических систем является пуассоновский шум, восстановление изображений проводилось для наблюдаемых изображений, к которым был добавлен пуассоновский шум порядка 2%, что соответствует 100 000 фотонов на единицу интенсивности пикселя. Характерный вид зашумленных наблюдаемых изображений для номеров слоев 3, 10, 19 представлен на рисунке 2.



Рисунок 2: Изображения наблюдаемых зашумленных слоев с номерами 3, 10, 19.

#### 3.2 Результаты восстановления для случая постоянного $\mu$

На рисунке 3 представлены характерные результаты восстановления и графики соответствующих значений векторного частотного критерия (ВЧК) для сечения с номером 3 для различных значений параметра  $\mu$  при фиксированном числе итераций  $K = 40$  метода (5). Отметим, что векторный частотный критерий используется для количественной оценки качества восстановления изображений в каждой секущей плоскости фокусировки и позволяет контролировать особенности восстановления в спектральной плоскости. ВЧК задается функцией

$$A(r) = \frac{1}{m(r)} \sum_{(u,v): r^2 \leq u^2 + v^2 \leq (r+1)^2} \left| \frac{F(\bar{E}(\bar{D}(\tilde{o})))}{F(\bar{E}(\bar{D}(o)))} \right| (u, v),$$

где  $\tilde{o}$  — восстановленное изображение, сдвинутое в неотрицательную область,  $o$  — исходное изображение,  $\bar{D}(X) = X/D(X)$ ,  $\bar{E}(X) = X/E(X)$ ,  $D(\cdot)$  — дисперсия,  $E(\cdot)$  — среднее,  $m(r)$  — число точек  $(u, v)$ , удовлетворяющих соотношению  $r^2 \leq u^2 + v^2 \leq (r+1)^2$ .

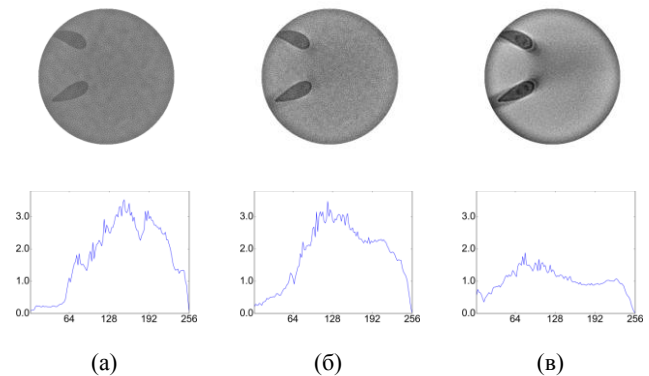


Рисунок 3: Секционирование слоя №3 изображения для значений числа итераций  $K = 40$  и параметра метода  $\mu = 0.1$ (а),  $\mu = 0.01$ (б) и  $\mu = 0.001$ (в).

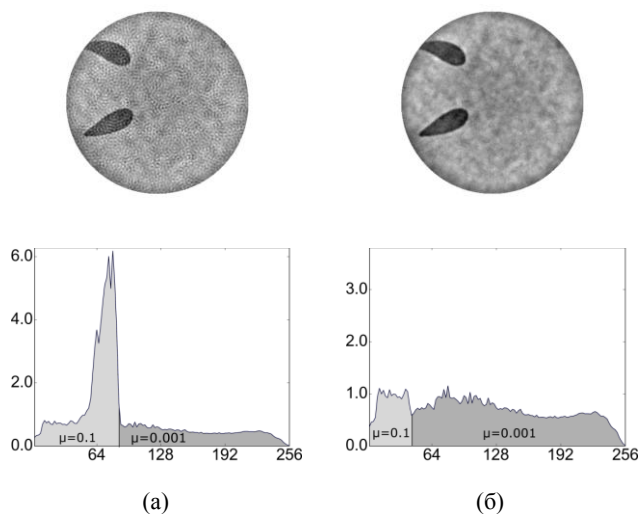
Как видно из рисунка 3, значение параметра  $\mu = 0.1$  является слишком большим для зашумленных наблюдаемых изображений из-за привносимого в восстанавливаемые изображения высокочастотного шума. Уменьшение значения параметра до  $\mu = 0.01$  улучшает качество восстановления, но не существенно. На графике ВЧК по-прежнему видна деградация восстановленного изображения в области высоких частот. Уменьшение значения  $\mu$  до 0.001 позволяет существенно снизить уровень шума, но приводит к тому, что секционирование слоев оказывается недостаточным. Это видно и на графике ВЧК, где заметен провал в области низких частот, хотя график в области высоких частот характеризуется достаточным качеством восстановления.

#### 3.3 Результаты восстановления для случая выбора $\mu$ в зависимости от номера гармоники

Существенного улучшения качества восстанавливаемого изображения можно добиться выбором параметра метода  $\mu$  в зависимости от номера восстанавливаемой гармоники.

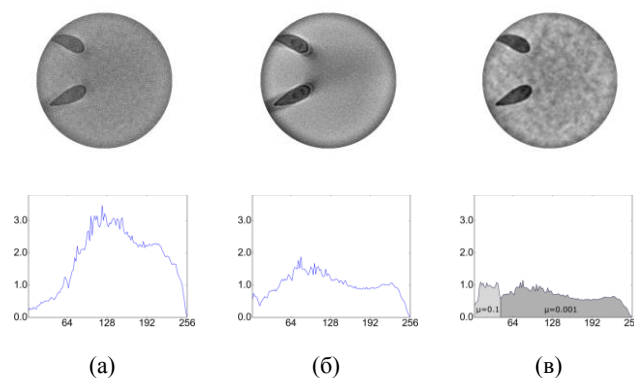
Поскольку для случая наблюдаемых изображений без шума оптимальными являются достаточные большие значения параметра  $\mu$ , был проведен анализ восстановленных изображений для случаев, когда на области низких частот восстановление велось с большим значением параметра метода, но при том же числе итераций.

На рисунке 4а представлены результаты восстановления для случая  $K = 40$  итераций, когда  $\mu$  выбиралось равным 0.1 для гармоник  $(u, v): \sqrt{u^2 + v^2} \leq R/3$ ,  $R = \max_{(u,v)} \sqrt{u^2 + v^2}$ , и равным 0.001 для остальных номеров гармоник. Несмотря на хорошее секционирование, восстановленное изображение оказывается зашумленным более низкочастотным шумом, что подтверждается скачком в соответствующей частотной области графика ВЧК. За счет уменьшения области расчета для низких частот до  $(u, v): \sqrt{u^2 + v^2} \leq R/6$  можно добиться значительного улучшения качества восстанавливаемого изображения. Как видно из рисунка 4б, восстановленное изображение хорошо секционировано от соседних слоев, а график ВЧК на всей области, в том числе и на области высоких частот, близок к единице.



**Рисунок 4:** Секционирование слоя №3 изображения для числа итераций  $K = 40$  и значений параметра метода  $\mu$ , зависящих от номера гармоники.

На рисунке 5 приведено сравнение качества восстановления изображений для случаев общего для всех номеров гармоник параметра метода  $\mu$  (а, б) и случая (в), описанного выше для рисунка 4б. Результат восстановления для  $\mu$ , зависящего от номера гармоники, характеризуется близким к единице графиком ВЧК, в отличие от графиков ВЧК для случаев с общим  $\mu$ , имеющих скачки и неравномерные перепады в области средних и высоких частот. Более того, для рассматриваемого случая удалось добиться хорошего секционирования восстанавливаемых слоев от соседних в сочетании с достаточным низким уровнем привносимого зашумления.



**Рисунок 5:** Сравнение качества восстановления изображений для общего для всех номеров гармоник параметра метода  $\mu$  и для выбранного в зависимости от номера гармоники.

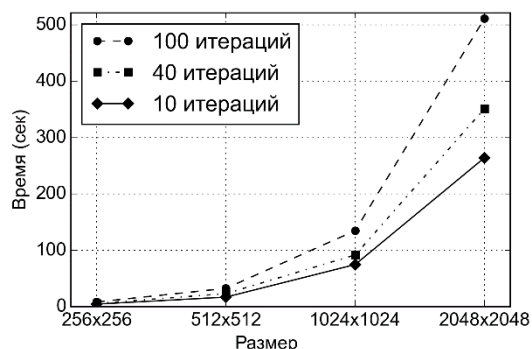
Приведенные результаты показывают, что тонкой подстройкой значений параметра метода  $\mu$  в зависимости от задаваемой частотной области и выбором самой частотной области можно добиться существенного улучшения качества восстановления зашумленных изображений. Отметим, что обзор других методов цифрового анализа сосудов глазного дна можно найти, например, в [6].

#### 4. ПРОГРАММНАЯ РЕАЛИЗАЦИЯ

Разработанный итерационный метод трехмерного секционирования был реализован на языке C++ с использованием библиотеки быстрого ДПФ FFTW, официальной реализации стандарта BLAS (Basic Linear Algebra Subprograms) от Netlib для Windows в рамках библиотеки LAPACK. Для выполнения реализованного итерационного метода параллельно для нескольких точек на выбранном числе процессорных ядер использовалась реализация стандарта OpenMP на C++. Максимальный размер оперативной памяти, используемой каждым выполняемым параллельно процессом, реализующим итерационный метод для некоторой точки  $(u, v)$ , составлял  $128 \times (2N^2 + 3N)$  байт, что позволило увеличить максимально возможный размер обрабатываемых данных.

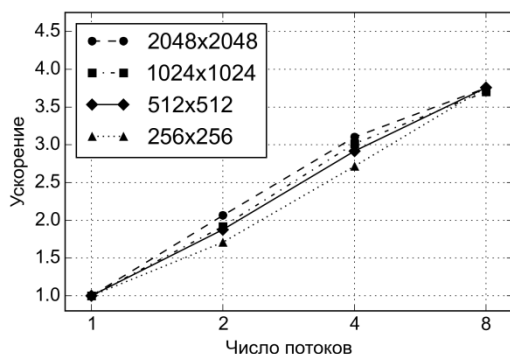
Для измерения производительности реализованного алгоритма расчеты для задач с размерностями  $256 \times 256$ ,  $512 \times 512$ ,  $1024 \times 1024$  и  $2048 \times 2048$  для 20 восстанавливаемых слоев проводились на персональном компьютере с процессором Intel Core i7-4790K, имеющем 4 процессорных ядра с поддержкой технологии Intel Hyper-Threading, 16Гб оперативной памяти под управлением 64-битной операционной системой Windows 8.1.

При небольших размерах изображений, как видно из рисунка 6, время работы программы мало меняется с ростом числа итераций и является приемлемым для клинической практики при восстановлении стеков медицинских изображений высокого разрешения. Дальнейшее же увеличение размеров изображений приводит к тому, что приходится не только выполнять БДПФ для больших по размеру массивов, но и проводить расчет итерационного метода для существенно большего числа точек, что приводит к росту времени выполнения программы.



**Рисунок 6:** Время работы программы для случая  $K = 10$ , 40 и 100 итераций.

Как видно из приведенного на рисунке 7 графика ускорения работы программы в зависимости от числа используемых потоков, программа хорошо масштабируется для различных размеров входных данных на использованном 4-ядерном центральном процессоре.



**Рисунок 7:** График ускорения работы программы на различных размерах изображения в зависимости от числа потоков.

Отметим, что одной из важных особенностей реализованного алгоритма является возможность его эффективного распараллеливания с использованием многоядерной архитектуры современных CPU и, в дальнейшем, возможность переноса вычислений на GPU, что, с учетом специфики современных многоядерных графических процессоров, позволит добиться существенного снижения времени работы программы, как в части БДПФ, так и в части решения СЛАУ.

## 5. ЗАКЛЮЧЕНИЕ

Для типичной постановки возникающей в офтальмологии задачи трехмерного секционирования рассмотрен локальный итерационный метод в спектральной области. По сравнению с нелокальным выбором параметров метод позволяет получить улучшенные результаты секционирования с сохранением хорошего уровня масштабируемости при его реализации на многоядерных CPU.

## 6. БЛАГОДАРНОСТИ

Работа выполнена при поддержке РФФИ, грант №15-29-03896 офи-м.

## 7. ЛИТЕРАТУРА

- [1] Agard D. *Optical sectioning microscopy: cellular architecture in three dimensions* // *Ann. Rev. Biophys. Bioeng.* 1984. Vol. 13. P. 191-219.
- [2] Castleman K. *Digital Image Processing.* Pearson Education, 2007. 686 p.
- [3] Larichev A.V., Ivanov P.V., Iroshnikov N.G., Shmalhauzen V.I., Otten L.J. *Adaptive system for eye-fundus imaging* // *Quantum Electronics.* – 2002. – Vol. 32. – P. 902-908.
- [4] Wu Q., Merchant F., Castleman K. *Microscope image processing.* Academic Press. 2008. 576 p.
- [5] Бакушинский А.Б., Гончарский А.В. *Итеративные методы решения некорректных задач.* М.: Наука, 1989. 128 с.
- [6] Ильясова Н.Ю. *Методы цифрового анализа сосудистой системы человека. Обзор литературы* // *Компьютерная оптика.* 2013. Т. 37. № 4. С. 511-535.
- [7] Матвиенко А.Н., Новикова Т.Н. *Метод обработки изображений полупрозрачных слоистых сред* // *Вестник Моск. ун-та, сер. 15. Вычислительная математика и кибернетика.* 1988. № 4. С. 33-37.
- [8] Разгулин А.В., Ирошников Н.Г., Ларичев А.В., Павлов С.Д., Романенко Т.Е. *Об одной задаче численного секционирования в офтальмологии* // *Компьютерная оптика.* 2015. Т. 39. № 5. С. 777–786.
- [9] Сизиков В.С. *Анализ методов локальной регуляризации и формулировка метода субоптимальной фильтрации решения уравнений I рода* // *Ж. вычисл. матем. и матем. физ.* 1999. Т. 39. № 5. С. 718–733.
- [10] Тихонов А.Н., Арсенин В.Я., Тимонов А.А. *Математические задачи компьютерной томографии.* М.: Наука, 1987. 160 с.

## Об авторах

Разгулин Александр Витальевич, д.ф.-м.н., работает профессором на факультете Вычислительной математики и кибернетики МГУ имени М.В. Ломоносова. E-mail: razgulin@cs.msu.ru

Романенко Татьяна Евгеньевна, к.ф.-м.н., работает ассистентом на факультете Вычислительной математики и кибернетики МГУ имени М.В. Ломоносова. E-mail: romanenko@cs.msu.ru

Ларичев Андрей Викторович, к.ф.-м.н., работает доцентом на физическом факультете МГУ имени М.В. Ломоносова. E-mail: larichev@optics.ru

Ирошников Никита Георгиевич, к.ф.-м.н., работает доцентом на физическом факультете МГУ имени М.В. Ломоносова. E-mail: nikita@optics.ru